

2023 年（令和 5 年）の 世界の主な異常気象・気象災害（速報）

- 世界各地で異常高温が発生し、中国、ベトナム、ブラジルの国内の最高気温の記録更新の他、各国の月平均気温や季節平均気温の記録更新が伝えられました。
- 世界各地で気象災害が発生し、特にリビアの低気圧による大雨（⑧、9月）、ソマリア～カメルーンの大雨（⑨、3～5、10～11月）、マダガスカル～マラウイのサイクロン（⑩、2～3月）など、アフリカを中心に、多数の死者を伴う被害が報じられました。

以下に、比較的大きな規模の「異常気象」及び気象が原因となって生じた大きな災害（気象災害）のおおよその地域・時期を示します。表中の番号は図中の番号に対応しています。

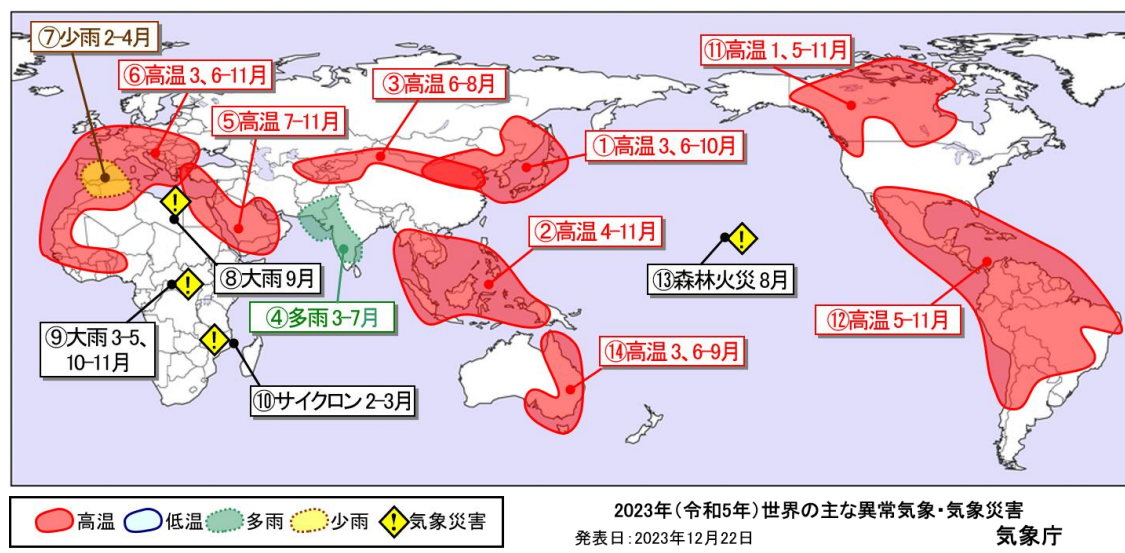


図 2023 年（令和 5 年）の異常気象・気象災害発生地域分布図

表 2023年(令和5年)の世界の主な異常気象・気象災害の概要

	異常気象の種類 (発生月)	地域	概況
①	高温(3、6 ～10月)	東アジア東部 及びその周辺	<ul style="list-style-type: none"> ・大阪府の大阪:3月の月平均気温13.0℃(平年差+3.1℃)。 ・東京都の東京:6～8月の3か月平均気温27.0℃(平年差+2.2℃)。 ・中国のペキン(北京):6～8月の3か月平均気温28.2℃(平年差+2.0℃)。 ・宮城県の仙台:9月の月平均気温25.1℃(平年差+3.9℃)。 ・中国のリュオニン(遼寧)省ターリエン(大連):10月の月平均気温17.1℃(平年差+2.8℃)。 ・日本では、7～9月に熱中症により104人が死亡した(消防庁)。 ・日本の3、7、8、9月の月平均気温は、それぞれの月としては1898年以降で最も高かった(気象庁)。 ・韓国の3、9月の月平均気温は、それぞれの月としては1973年以降で最も高かった(韓国気象局)。 ・中国の9、10月の月平均気温は、それぞれの月としては1961年以降で最も高かった(中国気象局)。 ・日本の春(3～5月)、夏(6～8月)、秋(9～11月)の3か月平均気温は、それぞれの季節としては1898年以降で最も高かった(気象庁)。
②	高温(4～11 月)	東南アジア	<ul style="list-style-type: none"> ・ベトナム中部のダナン:4月の月平均気温28.0℃(平年差+1.4℃)。 ・マレーシア北西部のペナン:5、9月のそれぞれの月平均気温が29.7℃(平年差+1.4℃)、28.1℃(平年差+0.8℃)。 ・タイのバンコク:6～8月の3か月平均気温30.3℃(平年差+0.9℃)。 ・シンガポール:9～11月の3か月平均気温28.5℃(平年差+0.8℃)。 ・インドネシアのジャカルタ/スカルノハッタ国際空港:9～11月の3か月平均気温28.6℃(平年差+0.8℃)。 ・ベトナム北部のゲアン(Nghean)では、5月7日に44.2℃の日最高気温を観測し、ベトナムの国内最高記録を更新した(ベトナム気象局)。
③	高温(6～8 月)	中国東部～中 央アジア南部	<ul style="list-style-type: none"> ・中国のシンチアン(新疆)ウイグル自治区ウルムチ(烏魯木齊):6～8月の3か月平均気温24.8℃(平年差+1.6℃)。 ・ウズベキスタンのタシケント:6～8月の3か月平均気温29.1℃(平年差+1.9℃)。 ・中国の夏(6～8月)の3か月平均気温は、夏としては1961年以降で2番目に高かった(中国気象局)。 ・中国の新疆ウイグル自治区トルファンでは、7月16日に52.2℃の日最高気温を観測し、中国の国内最高記録を更新した(中国気象局)。

	異常気象の種類 (発生月)	地域	概況
④	多雨(3～7月)	インド中部～パキスタン	<ul style="list-style-type: none"> ・インド西部のアーメダバード:3～5月の3か月降水量81mm(平年比900%)。 ・インド西部のベラーバル:6月の月降水量439mm(平年比311%)。 ・インド中部のアコラ:7月の月降水量522mm(平年比248%)。 ・アフガニスタン～インドでは、6～8月の大雨により1,010人以上が死亡したと伝えられた(EM-DAT)。
⑤	高温(7～11月)	トルコ西部～アラビア半島	<ul style="list-style-type: none"> ・クウェートのクウェート:7、9月の月平均気温がそれぞれ40.9℃(平年差+1.8℃)、37.1℃(平年差+2.2℃)。 ・サウジアラビア西部のジッダ:7、8月の月平均気温がそれぞれ35.2℃(平年差+2.0℃)、35.0℃(平年差+1.7℃)。 ・サウジアラビアのリヤド国際空港:9～11月の3か月平均気温28.9℃(平年差+2.0℃)。 ・バーレーンの8月の月平均気温は、8月としては1902年以降で最も高かった(バーレーン気象局)。 ・トルコの11月の月平均気温は、11月としては1971年以降で最も高かった(トルコ気象局)。
⑥	高温(3、6～11月)	ヨーロッパ中部～西アフリカ	<ul style="list-style-type: none"> ・スペイン北東部のバルセロナ:3月の月平均気温13.9℃(平年差+1.8℃)。 ・スペイン南部のグラナダ空港:6～8月の3か月平均気温26.8℃(平年差+2.0℃)。 ・セネガルのダカール:6～8月、9～11月の3か月平均気温がそれぞれ28.3℃(平年差+1.3℃)、28.5℃(平年差+1.0℃)。 ・フランスのパリ・オルリー空港:9～11月の3か月平均気温14.8℃(平年差+2.7℃)。 ・チュニジアのチュニス/カルタゴ:9～11月の3か月平均気温23.2℃(平年差+1.6℃)。 ・英国の6、9月の月平均気温は、それぞれの月としては1884年以降で最も高かった(英国気象局)。 ・スペインの8月の月平均気温は、8月としては1961年以降で最も高かった(スペイン気象局)。 ・ドイツの9月の月平均気温は、9月としては1881年以降で最も高かった(ドイツ気象局)。 ・フランスの9月の月平均気温は、9月としては1900年以降で最も高かった(フランス気象局)。
⑦	少雨(2～4月)	スペイン～アルジェリア北部	<ul style="list-style-type: none"> ・スペイン中部のシウダーレアル:2月の月降水量0mm(2月の月降水量平年値30.8mm)。 ・モロッコ北東部のウジダ:3月の月降水量0mm(3月の月降水量平年値35.5mm)。 ・スペイン西部のサモラ:4月の月降水量1mm(平年比2%)。 ・スペインの月降水量は、4月としては1961年以降で最も少なかった(スペイン気象局)。
⑧	大雨(9月)	リビア	<ul style="list-style-type: none"> ・リビアでは、9月の低気圧「Daniel」による大雨の影響で12,350人以上が死亡したと伝えられた(EM-DAT)。 ・リビア北東部のBENINA:9月の月降水量52mm(平年比963%)。

	異常気象の種類 (発生月)	地域	概況
⑨	大雨(3~5、10~11月)	ソマリア~カメルーン	・ソマリア~カメルーンでは、3~5、10~11月の大雨により3,710人以上が死亡したと伝えられた(EM-DAT)。
⑩	サイクロン(2~3月)	マダガスカル~マラウイ	・マダガスカル~マラウイでは、2~3月のサイクロン「FREDDY」により860人以上が死亡したと伝えられた(EM-DAT)。
⑪	高温(1、5~11月)	北米北部	<ul style="list-style-type: none"> ・カナダのユーコン準州オールドクロー:1月の月平均気温-20.8°C(平年差$+8.0^{\circ}\text{C}$)。 ・カナダのマニトバ州チャーチル:5月の月平均気温5.4°C(平年差$+6.2^{\circ}\text{C}$)。 ・カナダのヌナバット準州ベーカーレーク:6~8月、9~11月の3か月平均気温がそれぞれ12.0°C(平年差$+2.4^{\circ}\text{C}$)、-3.1°C(平年差$+3.8^{\circ}\text{C}$)。 ・カナダでは、2023年に発生した森林火災により約18.5万平方キロメートルが焼失し、1983年以降で最大の焼失面積になったと伝えられた(カナダ省庁間森林火災センター)。
⑫	高温(5~11月)	北米南部~南米中部	<ul style="list-style-type: none"> ・ペルーのリマ・カヤオ:5、9月の月平均気温がそれぞれ22.4°C(平年差$+3.2^{\circ}\text{C}$)、19.3°C(平年差$+2.6^{\circ}\text{C}$)。 ・米国のテキサス州ダラス:6~8月の3か月平均気温31.5°C(平年差$+2.1^{\circ}\text{C}$)。 ・コロンビアのボゴタ:6~8月の3か月平均気温14.6°C(平年差$+1.1^{\circ}\text{C}$)。 ・メキシコのメキシコシティ:9~11月の3か月平均気温18.1°C(平年差$+1.7^{\circ}\text{C}$)。 ・ブラジル南東部のアラスアイでは、11月19日に44.8°Cの日最高気温を観測し、ブラジルの国内最高記録を更新した(ブラジル国立気象研究所)。
⑬	森林火災(8月)	米国ハワイ州	<ul style="list-style-type: none"> ・米国ハワイ州では、8月の森林火災により120人以上が死亡したと伝えられた(EM-DAT)。 ・米国のハワイ州カウアイ島/リフエ:8月の月平均気温28.3°C(平年差$+1.6^{\circ}\text{C}$)。
⑭	高温(3、6~9月)	オーストラリア北部~南東部	<ul style="list-style-type: none"> ・オーストラリア南東部のシドニー:3月の月平均気温23.9°C(平年差$+2.0^{\circ}\text{C}$)。 ・オーストラリア南東部のメルボルン:6~8月の3か月平均気温10.9°C(平年差$+1.0^{\circ}\text{C}$)。 ・オーストラリア南東部のモーリー:9月の月平均気温19.1°C(平年差$+2.7^{\circ}\text{C}$)。 ・オーストラリアの冬(6~8月)の3か月平均気温は、冬としては1910年以降で最も高かった(オーストラリア気象局)。

- ◇ 異常気象：ある場所において 30 年に 1 回以下のまれな頻度¹で発生する現象を指します。本資料では月平均気温や月降水量から異常と判断した現象のうち、1 年の中で特に大きな被害や影響のあったものを、地理的広がりも考慮しつつ取り上げています。
- ◇ 災害情報：米国国際開発庁海外災害援助局及びルーベンカトリック大学災害疫学研究所（ベルギー）による災害データベース（EM-DAT） や各国政府機関、国連、欧州委員会等の発表に基づき、人的被害や経済的損失の大きさ、地理的広がりを考慮して取り上げています。

※本資料は、世界各国の 1～11 月までの観測データ及び災害情報をもとに、速報としてまとめたものです。12 月までの観測データによる資料は、令和 6 年 1 月中旬に気象庁の世界の異常気象のホームページ（下記 URL）で発表します。

https://www.data.jma.go.jp/cpd/monitor/extreme_world/index.html

※世界の天候や異常気象に関する最新の情報は、気象庁ホームページでご覧になれます。

【世界の天候】

<https://www.data.jma.go.jp/cpd/monitor/index.html>



【世界の天候】

【世界の異常気象】

https://www.data.jma.go.jp/cpd/monitor/extreme_world/index.html



【世界の異常気象】

¹ 統計期間は 1991～2020 年の 30 年間。